

DE LA RECHERCHE À L'INDUSTRIE

cea



www.cea.fr

Méthode d'hyper-réduction pour la mécanique du contact. Application à la simulation du combustible nucléaire.

Club utilisateur Cast3M |

J. FAUQUE^{1,2}, I. RAMIÈRE¹, D. RYCKELYNCK²

¹ CEA, CENTRE DE CADARACHE, DEC/SESC

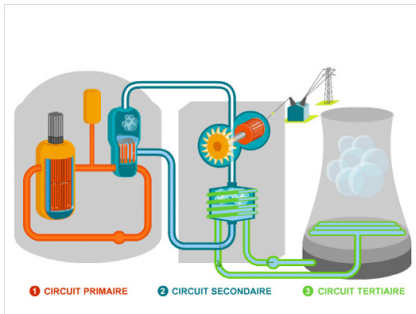
² MINES PARISTECH - CENTRE DES MATÉRIAUX

24 NOVEMBRE 2017

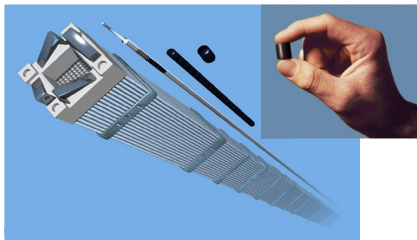
- **Contexte industriel**
- **Hyper-réduction pour le contact**
- **Implémentation dans Cast3M**
- **Application à un cas test semi-industriel**
- **Conclusions et perspectives**

Contexte industriel

■ Une centrale nucléaire



■ Le combustible nucléaire

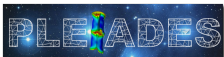


■ Pastilles de combustible de 1cm pour un crayon d'environ 3m

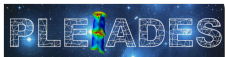
↪ un problème multi-échelles

■ Nombreux phénomènes (thermique, chimie, mécanique des solides, mécanique des fluides,...)

↪ un problème multi-physiques



- plateforme de simulation du comportement des combustibles nucléaires.
- co-développement CEA, EDF, AREVA



- plateforme de simulation du comportement des combustibles nucléaires.

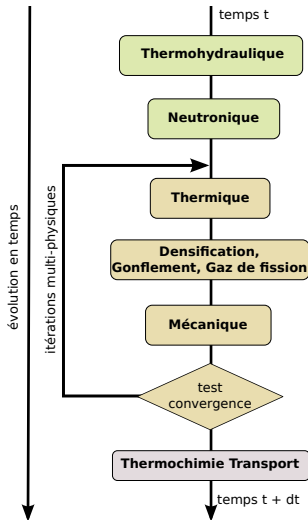
- co-développement CEA, EDF, AREVA

- Couplage de point fixe de type Gauss-Seidel par bloc

- Résolution mécanique (solveur EF Cast3M)

↔ 50 à 70% du temps de calcul

↔ Réduction du modèle ?



■ Pastilles :

- oxydes UO_2 ou $UPuO_2$ (MOX)
- **céramique fragile** avec contrainte à rupture entre 100 et 150 MPa
- **gonflement** sous irradiation,
- **comportement viscoplastique**.

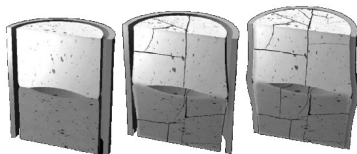


■ Gaine :

- alliage à base de zirconium (Zy_4 , M5[®], ...)
- **contrainte de compression** dûe au réfrigérant,
- **comportement viscoplastique** avec **fluage** thermique et d'irradiation.

■ Pastilles :

- oxydes UO_2 ou $UPuO_2$ (MOX)
- **céramique fragile** avec contrainte à rupture entre 100 et 150 MPa
- **gonflement** sous irradiation,
- **comportement viscoplastique**.



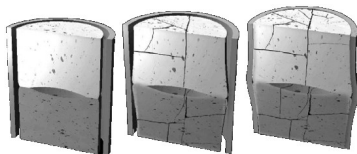
■ Gaine :

- alliage à base de zirconium (Zy_4 , M5[®],...)
- **contrainte de compression** dûe au réfrigérant,
- **comportement viscoplastique** avec **fluage** thermique et d'irradiation.

■ Contact : au plan médian pastille puis partout

■ Pastilles :

- oxydes UO_2 ou $UPuO_2$ (MOX)
- **céramique fragile** avec contrainte à rupture entre 100 et 150 MPa
- **gonflement** sous irradiation,
- **comportement viscoplastique**.



■ Gaine :

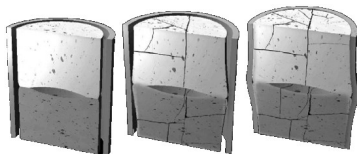
- alliage à base de zirconium (Zy_4 , M5[®], ...)
- **contrainte de compression** dûe au réfrigérant,
- **comportement viscoplastique** avec **fluage** thermique et d'irradiation.

■ Contact : au plan médian pastille puis partout

⇒ Trouver une **méthode de réduction de modèle efficace pour comportement viscoplastique + contact**

■ Pastilles :

- oxydes UO_2 ou $UPuO_2$ (MOX)
- **céramique fragile** avec contrainte à rupture entre 100 et 150 MPa
- **gonflement** sous irradiation,
- **comportement viscoplastique**.



■ Gaine :

- alliage à base de zirconium (Zr_4 , M5[®], ...)
- **contrainte de compression** dûe au réfrigérant,
- **comportement viscoplastique** avec **fluage** thermique et d'irradiation.

■ Contact : au plan médian pastille puis partout

- ⇒ Trouver une **méthode de réduction de modèle efficace pour comportement viscoplastique + contact**
- ↪ Étendre la **méthode d'hyper-réduction avec domaine d'intégration réduit** [D. Ryckelynck, 2005], [D. Ryckelynck, 2009], adaptée à des comportements viscoplastiques, au cas du **contact**.

Hyper-réduction et contact

■ Hypothèses : (Cast3M)

- Formulation mixte,
- Contact traité par multiplicateurs de Lagrange.

■ Modèle éléments finis (cas élastique) :

$$\left\{ \begin{array}{l} \text{Trouver } (U, \Lambda) \in \mathbb{R}^N \times (\mathbb{R}^+)^{N_\lambda} \text{ tels que} \\ KU + B^T \Lambda = F \\ \Lambda^T (BU - D) = 0 \\ BU \leq D \end{array} \right.$$

U : déplacements

K : matrice de rigidité

F : forces externes

Λ : multiplicateurs de
Lagrange

B : matrice des contacts
potentiels

D : jeu initial

$$\Lambda = -F_N \quad (\text{force de contact})$$

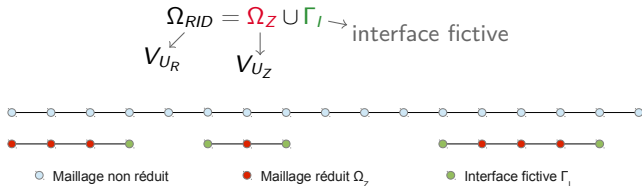
Taille du problème : dépend directement du nombre de ddl $N + N_\lambda$.

- Les méthodes proposées dans la littérature construisent deux bases réduites (BR) V_U et V_Λ :
 - **Reduced-basis method** [B. Haasdonk *et al.*, 2012], BRs construites directement avec des snapshots.
 - **Projection-based method** [M. Balajewicz *et al.*, 2015], V_U construite par POD alors que V_Λ construite avec NNMF (Non-Negative Matrix Factorization) pour respecter la positivité des multiplicateurs.

Difficulté : obtenir une bonne approximation des multiplicateurs de Lagrange en utilisant une BR.

■ Méthode d'hyper-réduction [D. Ryckelynck, 2009] :

- Méthode *a posteriori* avec projection sur BR, V_U construite par POD.
- Construction d'un domaine d'intégration réduit (RID) (algorithme DEIM appliquée à BR construite par POD, domaine d'intérêt,...) :



↔ C.L. sur Γ_I de type Dirichlet déduites par projection de Petrov-Galerkin.

Idée pour l'extension au contact : conserver la base duale EF pour les multiplicateurs de Lagrange.

■ Méthode d'hyper-réduction hybride [J. Fauque *et al.*, 2017]

$$\left\{ \begin{array}{l} \text{Trouver } (U, \Lambda) \in \mathbb{R}^N \times (\mathbb{R}^+)^{N_\lambda} \text{ t.q.} \\ KU + B^T \Lambda = F \\ \Lambda^T (BU - D) = 0 \\ BU \leq D \end{array} \right. \Rightarrow \left\{ \begin{array}{l} \text{Trouver } (\gamma, \Lambda_R) \in \mathbb{R}^{l_u} \times (\mathbb{R}^+)^{N_\lambda^C} \text{ t.q.} \\ V_{U_Z}^T K_R V_{U_R} \gamma + V_{U_Z}^T B_R^T \Lambda_R = V_{U_Z}^T F_R \\ \Lambda_R^T (B_R V_{U_R} \gamma - D_R) = 0 \\ B_R V_{U_R} \gamma \leq D_R \end{array} \right.$$

EF : $K \in \mathbb{R}^{N \times N}$, HR : $V_{U_Z}^T K_R V_{U_R} \in \mathbb{R}^{l_u \times l_u}$ avec $l_u \ll N$

- Condition inf-sup (ou LBB) à respecter : $B_{R, \text{actifs}} V_{U_R}$ de rang maximal en ligne
Ne connaissant pas les contacts actifs *a priori*, $B_R V_{U_R}$ de rang maximal en ligne

↔ condition nécessaire : $l_u \geq N_\lambda^C$

Si non respectée : couplage HR/EF [J. Baiges *et al.*, 2013]

⇒ $\tilde{V}_U = (V_U | (\varphi_i)_i)$, φ fonctions de forme EF et i ddls déplacement sur la zone de contact tels que $B_R \tilde{V}_{U_R}$ soit de rang maximal en ligne.

■ Méthode d'hyper-réduction hybride [J. Fauque *et al.*, 2017]

$$\left\{ \begin{array}{l} \text{Trouver } (U, \Lambda) \in \mathbb{R}^N \times (\mathbb{R}^+)^{N_\lambda} \text{ t.q.} \\ KU + B^T \Lambda = F \\ \Lambda^T (BU - D) = 0 \\ BU \leq D \end{array} \right. \Rightarrow \left\{ \begin{array}{l} \text{Trouver } (\gamma, \Lambda_R) \in \mathbb{R}^{l_u} \times (\mathbb{R}^+)^{N_\lambda^C} \text{ t.q.} \\ V_{U_Z}^T K_R V_{U_R} \gamma + V_{U_Z}^T B_R^T \Lambda_R = V_{U_Z}^T F_R \\ \Lambda_R^T (B_R V_{U_R} \gamma - D_R) = 0 \\ B_R V_{U_R} \gamma \leq D_R \end{array} \right.$$

EF : $K \in \mathbb{R}^{N \times N}$, HR : $V_{U_Z}^T K_R V_{U_R} \in \mathbb{R}^{l_u \times l_u}$ avec $l_u \ll N$

- **Condition inf-sup** (ou LBB) à respecter : $B_{R, \text{actifs}} V_{U_R}$ de rang maximal en ligne
Ne connaissant pas les contacts actifs *a priori*, $B_R V_{U_R}$ de rang maximal en ligne
↔ condition nécessaire : $l_u \geq N_\lambda^C$

Si non respectée : **couplage HR/EF** [J. Baiges *et al.*, 2013]

$$\Rightarrow \tilde{V}_U = (V_U | (\varphi_i)_i)$$

- **Avantages** : Multiplicateurs traités avec la base EF (précision). Conditions de **non pénétration** et de **complémentarité** vérifiées sur le RID.
- **Inconvénients** : **Contact traité uniquement sur le RID**. Risque d'interpénétration ailleurs car $U = V_U \gamma$ partout.

Implémentation dans Cast3M

Hypothèses :

- Contact entre solides élastiques.
- Contact traité nœud à nœud.

Conditions aux limites :

- Conditions de Neumann :
 - Cas homogènes : pas de problème.
 - Cas non-homogènes : une partie du maillage sur lequel repose la condition doit être prise dans le RID.
- Conditions de Dirichlet :
 - Cas homogènes : prise en compte dans la base POD.
 - Cas non-homogènes : traité par multiplicateurs de Lagrange dans Cast3M, même raisonnement que pour traiter le contact (condition d'égalité au lieu d'inégalité). Prise en compte si maillage support dans le RID.

Partie offline :

1. Collection des données (snapshots).
 2. Construction de la BR V_U avec la POD (numpy.linalg.svd).
 3. Obtention des nœuds pour la construction du RID avec l'algorithme DEIM (appliqué à V_U et V_Λ).
- } python

Partie online :

4. Récupération des nœuds DEIM MAILR et de la base V_U sous forme d'une liste de **CHPOIN** à l'aide de **MANU**.
5. Construction du RID :
 $\text{MAILRID} = \text{MAILINI ELEM 'APPUYE' 'LARGEMENT' MAILR};$
 Extension de **MAILR** sur la zone de contact avec **POIN 'PROC'** pour traiter un maximum de contacts.
 Possibilité d'étendre le RID aux voisins.

Partie online :

6. Restriction au domaine réduit puis projections :

$$V_{U_R} = \text{REDU } V_U \text{ MAILRID}; \quad V_{U_Z} = \text{REDU } V_{U_R} \text{ MAILR};$$

$$(V_{U_Z}^T K_R V_{U_R})_{ij} = \text{YTMX } (V_{U_R})_{\cdot j} (V_{U_Z})_{\cdot i} K; \quad (V_{U_Z}^T F_R)_i = \text{XTY } (V_{U_Z})_{\cdot i} F;$$

MANU 'RIGI' et MANU 'CHPO' pour obtenir les bons types.

Redéfinition du contact (B_R et D_R) sur le RID avec IMPO 'MAIL' puis IMPO 'BLOC'. $B_R V_{U_R} = B_R \text{ '*'} V_{U_R}$;

Rang de $B_R V_{U_R}$, boucler pour rajouter des ddls EF si besoin.

Redéfinition de l'inégalité avec RELA 'MAXI' et DEPIMP.

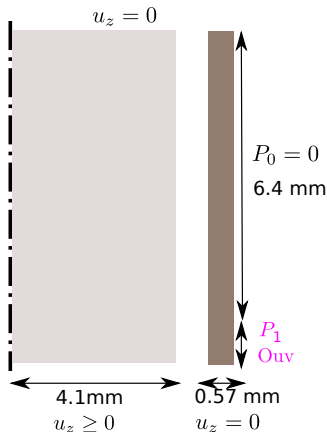
$$7. \begin{pmatrix} \gamma \\ \Lambda_R \end{pmatrix} = \text{RESOU } (V_{U_Z}^T K_R V_{U_R} \text{ ET } B_R V_{U_R}) (V_{U_Z}^T F_R \text{ ET } D_R)$$

8. Reconstruction des déplacements dans l'espace EF, $U = V_U \gamma$.

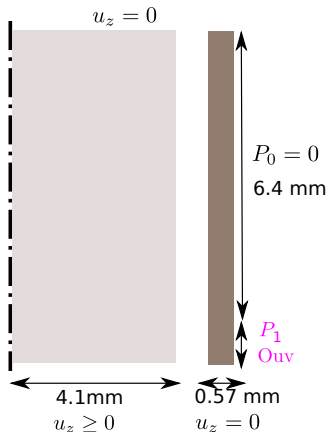
Possibilité d'un post-traitement pour reconstruire les multiplicateurs de Lagrange sur la zone de contact.

Application

Cas test industriel



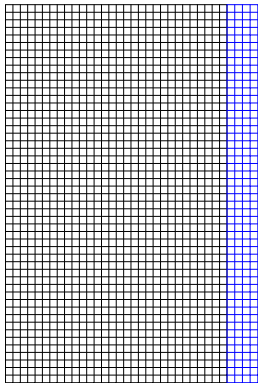
- Configuration 2D axisymétrique
- Comportement élastique :
 - Pastille : $E = 190$ GPa et $\nu = 0.3$
 - Gaine : $E = 78$ GPa et $\nu = 0.34$
- Contact pastille-gaine (cf. mise en diabolo) :
 - Pression $P_1 \in [160, 240]$ MPa
 - Sur une hauteur de $Ouv \in [0.5, 0.7]$ mm
 - Jeu pastille-gaine initial = 2 μ m
- Solveur EF Cast3M + méthode active-set
- Solveur HR



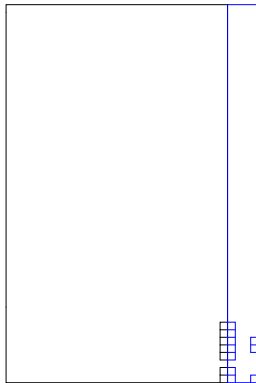
- Configuration 2D axisymétrique
- Comportement élastique :
 - Pastille : $E = 190$ GPa et $\nu = 0.3$
 - Gaine : $E = 78$ GPa et $\nu = 0.34$
- Contact pastille-gaine (cf. mise en diabolo) :
 - Pression $P_1 \in [160, 240]$ MPa
 - Sur une hauteur de $Ouv \in [0.5, 0.7]$ mm
 - Jeu pastille-gaine initial = $2 \mu\text{m}$
- Solveur EF Cast3M + méthode active-set
- Solveur HR

- Résultats suivants obtenus avec :
 - Contact traité nœud à nœud (système symétrique)
 - Grille régulière de 25 snapshots
 - $\varepsilon_u = 10^{-7}$
 - $\varepsilon_\lambda = 10^{-5} \Rightarrow \text{RID}$

■ RID obtenu



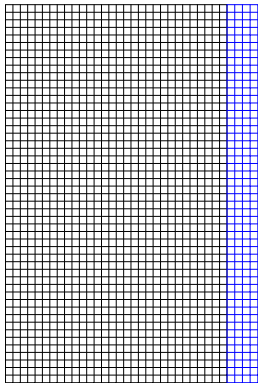
Maillage initial : 1700 éléments



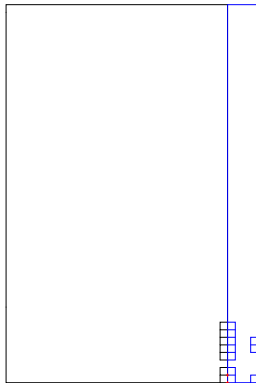
RID : 17 éléments

- Inconnues traitées : $N_{\lambda}^C = 6$, $l_u = 5 + 2$ ddls EF (en u_r) (rang maximal)
- Speed-up CPU : $\simeq 12$ (incluant projection des EDP)

■ RID obtenu



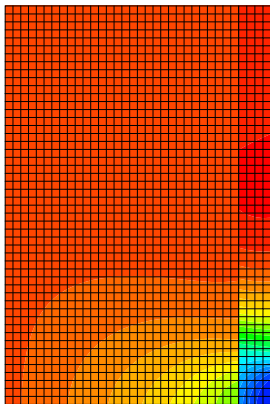
Maillage initial : 1700 éléments



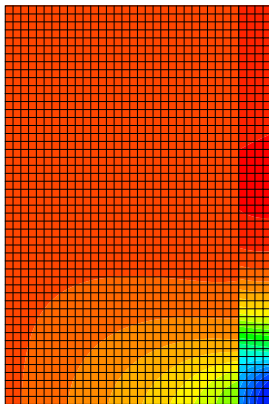
RID : 17 éléments

- Inconnues traitées : $N_{\lambda}^C = 6$, $l_u = 5 + 2$ ddls EF (en u_r) (rang maximal)
- Speed-up CPU : $\simeq 12$ (incluant projection des EDP)

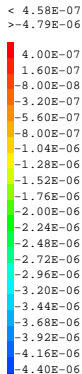
■ Déplacements - $P_1 = 190$ MPa, $Ouv = 0.62$ mm



u_R EF

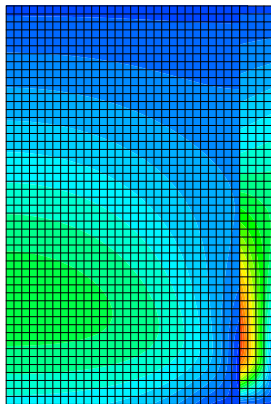
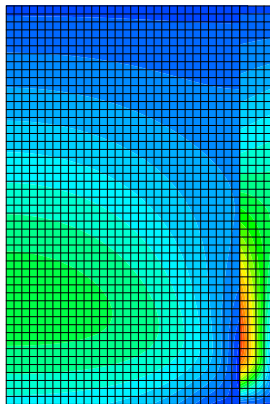
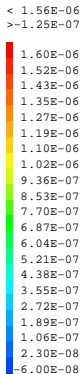


u_R HR



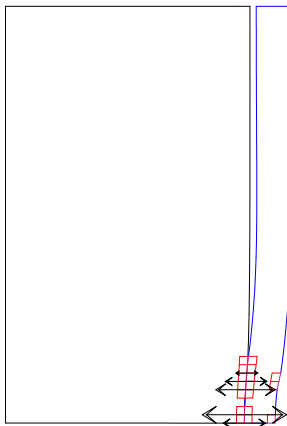
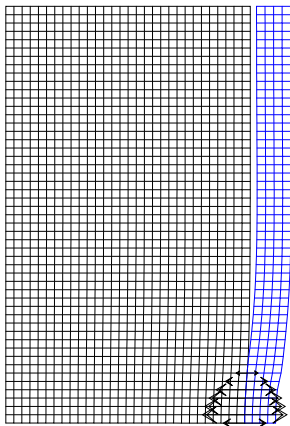
■ Très bon accord solution EF vs solution HR

- Déplacements - $P_1 = 190$ MPa, $O_{uv} = 0.62$ mm

 u_z EF u_z HR

- Très bon accord solution EF vs solution HR
- $\|e_U\|_2 = 0.055\%$

- Forces de contact - $P_1 = 190 \text{ MPa}$, $Ouv = 0.62 \text{ mm}$



- Très bonne représentation des forces de contact même si toute la zone de contact actif n'est pas représentée
- $\|e_\lambda\|_2 = 0.53\%$ (sur Ω_{RID})

Conclusions et perspectives

- **Conclusions** : introduction d'une **méthode d'hyper-réduction hybride pour les problèmes de contact traités par multiplicateurs de Lagrange**
 - Testée sur un cas test 2D élastique industriel avec contact nœud à nœud
 - ↔ **Très bons résultats notamment sur les forces de contact**
 - ↔ **Implémentation peu intrusive** (prétraitement, opérateurs existants)

- **Perspectives**
 - Traitement du contact nœud-surface
 - Prise en compte de comportements mécaniques non-linéaires (→ visco-plastique)
 - Traitement du contact frottant
 - Accélération des études paramétriques (vérification/validation) et/ou prise en compte de nouvelles situations dans la simulation multi-physiques du combustible nucléaire.

Merci pour votre attention

Commissariat à l'énergie atomique et aux énergies alternatives
Centre de Cadarache | DEN/DEC/SESC b151 - 13108 Saint-Paul-Lez-Durance
T. +33 (0)4.42.25.23.66 | F. +33 (0)4.42.25.47.47
Établissement public à caractère industriel et commercial | RCS Paris B 775 685 019

Direction de l'Énergie Nucléaire
Département d'Études des Combustibles
Service d'Études et de Simulation du
comportement des Combustibles

- J.L. Lumley.
Atmospheric Turbulence and Wave Propagation. The structure of inhomogenous turbulence. 166–178. 1967.
- M. Barrault, Y. Maday, N.C. Nguyen and A.Patera.
An 'empirical interpolation' method : application to efficient reduced-basis discretization of partial differential equations. Académie des sciences. 2004.
- S. Chaturantabut, D.C. Sorensen.
Discrete empirical interpolation for nonlinear model reduction. Decision and Control, p. 4316-4321, 2009.
- D. Ryckelynck.
Hyper reduction of mechanical models involving internal variables. International Journal for Numerical Methods in Engineering 77, p.75–89. 2009.
- B. Haasdonk, J. Salomon and B. Wohlmuth.
A reduced basis method for parametrized variational inequalities. SIAM Journal on Numerical Analysis, Vol. 50, Num. 5. p.2656–2676. 2012.
- J. Baiges, R. Codina and S. Idelson.
A domain decomposition strategy for reduced order models. Application to the incompressible Navier-Stokes equations, Comput. Methods Appl. Mech. Engng. 267, p.23–42. 2013.
- M. Balajewicz, D. Amsallem and C. Farhat.
Projection-based model reduction for contact problems. International Journal for Numerical Methods in Engineering. 2015.
- J. Fauque, I. Ramière and D. Ryckelynck.
Hybrid hyper-reduced modeling for contact mechanics problems, in preparation.

A posteriori model reduction



XXL dof
highfidelity model



Offline training phase
to lose dof



Low dof and good shape,
Hyper-reduced order model
ready for online phase

■ Indicateur d'erreur :

- $U_I(\mu)$ = interpolation de la matrice des snapshots en U sur Γ_I pour un μ donné,
- Résolution du problème EF $(\tilde{U}, \tilde{\Lambda})$ dans le RID en imposant $U_I(\mu)$ comme C.L. de Dirichlet.

$$\eta(\mu) = \frac{\|(U_{hr} - \tilde{U})(\mu)\|_{H^1}}{\|\tilde{U}(\mu)\|_{H^1}} + \frac{\|(\Lambda_{hr} - \tilde{\Lambda})(\mu)\|_{(H^1)'}}{\|\tilde{\Lambda}(\mu)\|_{(H^1)'}}$$

■ Algorithme glouton :

- calculer $\eta(\mu)$ pour tous les μ de la grille des paramètres
- $\mu_{max} = \operatorname{argmax}(\eta(\mu))$ est le nouveau snapshot

- Déplacements obtenus directement par HR : $U = V_U \gamma$.
- Reconstruction des multiplicateurs de Lagrange :
 - Minimisation NNLS (Non-Negative Least-Square) basée sur
 - les approximations duales HR (Λ_R)
 - la matrice des snapshots en multiplicateurs de Lagrange (S_λ) telle que

$$\Lambda = S_\lambda \gamma_\lambda, \quad \gamma_\lambda \geq 0 \quad \text{sur } \Omega$$

- la condition de complémentarité ($(BU - D) \odot \Lambda = 0$)

$$\min_{\gamma_\lambda} \left\| \begin{pmatrix} S_{\lambda_R} \\ [BU - D]_- \odot S_\lambda \end{pmatrix} \gamma_\lambda - \begin{pmatrix} \Lambda_R \\ 0 \end{pmatrix} \right\|_2^2 \quad \text{tel que } \gamma_\lambda \geq 0$$